

# КВАНТОВЫЕ ОСЦИЛЛЯЦИИ В СИЛЬНЫХ МАГНИТНЫХ ПОЛЯХ, ФАЗА БЕРРИ И СВЕРХПРОВОДИМОСТЬ В ТРЕХМЕРНЫХ ТОПОЛОГИЧЕСКИХ ИЗОЛЯТОРАХ $\text{Bi}_{2-x}\text{Cu}_x\text{Se}_3$

С. И. Веденеев<sup>a,\*</sup>, Д. А. Князев<sup>a,b</sup>, В. А. Прудкогляд<sup>a</sup>, Т. А. Романова<sup>a,b</sup>, А. В. Садаков<sup>a,b</sup>

<sup>a</sup> Физический институт им. П. Н. Лебедева Российской академии наук  
119991, Москва, Россия

<sup>b</sup> Международная лаборатория сильных магнитных полей и низких температур  
53-421, Вроцлав, Польша

Поступила в редакцию 16 января 2015 г.

Сообщается о наблюдении двумерных осцилляций Шубникова–де Гааза и холловских 2D-осцилляций в трехмерных монокристаллах  $\text{Bi}_2\text{Se}_3$ , легированных медью, в полях до 19.5 Тл при температурах до 0.3 К. Исследованы три образца с высокой объемной концентрацией носителей  $n \approx 10^{19}\text{--}10^{20}\text{ см}^{-3}$ . Вращение образцов в магнитном поле показало, что эти осцилляции связаны с множеством параллельных двумерных проводящих каналов толщиной 1–5 нм. Найдены их основные кинетические параметры. В проводящих двумерных каналах толщиной около 1 нм при высоких полях наблюдалось квантованное холловское сопротивление  $R_{xy}$ . Расстояние  $\Delta(1/R_{xy})$  между ступеньками на полевой зависимости величины  $1/R_{xy}$  оказалось постоянным для различных уровней Ландау и равным  $1.3e^2/h$  на каждый слой толщиной около 1 нм. Веерные диаграммы двумерных уровней Ландау для различных углов наклона образцов относительно направления магнитного поля позволяют заключить, что в проводящих двумерных каналах фаза Берри  $\gamma \approx \pi$  и не зависит от направления магнитного поля. Изучением угловой зависимости резистивного верхнего критического магнитного поля  $H_{c2}$  в одном из сверхпроводящих образцов показано, что его можно рассматривать как массивный сверхпроводник, состоящий из сверхпроводящих слоев с эффективной толщиной примерно 50 нм.

DOI: 10.7868/S004445101507007X

## 1. ВВЕДЕНИЕ

В последние несколько лет в физике конденсированного состояния появился новый класс квантовых материалов — трехмерных (3D) топологических изоляторов (ТИ), которые привлекли внимание большого числа исследователей (см., например, работы [1, 2]). В 2006 г. три теоретические группы независимо открыли, что топологическая характеристика состояний квантового спинового изолятора Холла или двумерного (2D) ТИ может быть естественным образом обобщена на 3D-ТИ (см., например, [3]). Была установлена связь между объемным состоянием со щелью изолятора и уникальным бесщелевым поверхностным проводящим состоянием. Электроны на поверхности в 3D-ТИ (дираковские

фермионы), ведущие себя как безмассовые частицы, являются необычными электронами и описываются двухкомпонентными волновыми функциями, однозначно связанными со спином и импульсом, поэтому рассеяние на примесях и дефектах невозможно. Дираковские фермионы характеризуются линейной зависимостью энергии от импульса, которая изображается в виде конуса Дирака с вершиной в точке Дирака. Очень быстро это открытие было подтверждено экспериментально в 3D-ТИ  $\text{Bi}_{1-x}\text{Sb}_x$  с помощью фотоэмиссионной спектроскопии с угловым разрешением (angle-resolved photoemission spectroscopy, ARPES) [4].

Теория [5] предсказывает, что когда электрон в ТИ циркулирует вокруг дираковской точки в импульсном пространстве, его спин поворачивается на  $2\pi$  и волновая функция электрона приобретает фазу Берри  $\gamma = \pi$ , если дисперсия линейна вблизи точки Дирака [6]. Однозначная корреляция между спином

\*E-mail: vedeneev@sci.lebedev.ru

и импульсом лежит в основе фазы Берри, связанной с поверхностью Ферми, и наблюдение ненулевой фазы Берри указывает на исчезновение массы частиц в точке Дирака. Действительно, авторы работы [7] нашли, что в отличие от обычных материалов со спин-орбитальным взаимодействием и параболическим законом дисперсии, фаза Берри которых равна нулю, поверхностные состояния  $Sb$  в  $Bi_{1-x}Sb_x$  имели фазу Берри отличную от нуля.

В 2009 г. было предсказано [8], что давно известный хороший термоэлектрический материал  $Bi_2Se_3$  с большой энергетической щелью в объемном состоянии относится к новому классу 3D-ТИ. В последние годы это соединение исследовалось главным образом методом ARPES, который позволяет, в частности, измерить распределение спиновой ориентации на поверхности Ферми, что может быть использовано для оценки фазы Берри на поверхности [1]. Однако далеко не все материалы можно изучать в ARPES-экспериментах, так как для них требуются образцы с очень чистой и плоской поверхностью. В этом случае могут оказаться полезными эксперименты с переносом заряда [2]. Последние, успешные в случае 2D-ТИ, оказались проблематичными в 3D-материалах, поскольку проводимость, связанная с объемными носителями, всегда доминирует над вкладом поверхностной проводимости [9]. В силу этого имеется очень мало доступной информации о транспортных и магнитотранспортных свойствах 3D-ТИ.

Вопрос относительно величины фазы Берри в ТИ до сих пор остается открытым, поскольку в литературе отсутствуют однозначные данные, полученные как в ARPES-, так и в транспортных экспериментах, хотя фаза Берри должна оказывать важное влияние на поведение ТИ в магнитном поле [9]. Тем не менее несколько магнитотранспортных экспериментов было проведено с ТИ, в которых из наблюдений осцилляций Шубникова–де Гааза (ШдГ) и эффекта Холла, по-видимому, доказано существование поверхностных 2D-состояний (см., например, работы [1, 10]). В силу этого дальнейшее изучение 3D-ТИ и особенно образцов  $Bi_2Se_3$  представляет большой интерес, поскольку их нетрудно получить в виде высококачественных монокристаллов, и этот материал может быть полезен для практических применений. Есть основание полагать, что в 3D-ТИ  $Bi_2Se_3$ , легированном медью, обнаружена поверхностная сверхпроводимость при 3.8 К [11]. Необычная сверхпроводимость в ТИ может быть обусловлена наличием бесщелевых поверхностных состояний Майорана, с которыми связаны майорановские фермионы

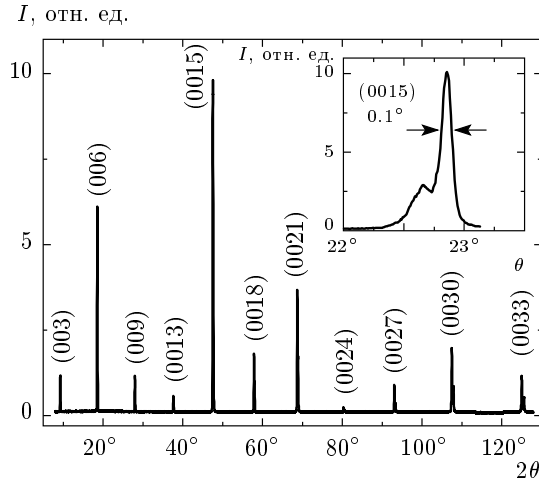
(предсказанные, но пока не открытые экспериментально) [12].

Ранее мы сообщили [13] о наблюдении 2D-осцилляций ШдГ и холловских осцилляций в 3D-монокристаллах  $Bi_2Se_3$ , легированных медью, в полях до 9 Тл и при температурах до 2 К. Образцы имели высокую концентрацию носителей  $n = (3-5) \cdot 10^{18} \text{ см}^{-3}$ , хотя из ARPES-экспериментов [1] следовало, что в 3D-ТИ за транспорт отвечают поверхностные 2D-состояния лишь в образцах с концентрацией носителей  $n \lesssim 10^{17} \text{ см}^{-3}$ . Было предположено, что наблюдаемые нами осцилляции связаны с несколькими параллельными проводящими 2D-каналами в монокристалле, как это имеет место в нелегированном  $Bi_2Se_3$  [14]. Однако эксперименты показали, что фаза Берри равна 1.44 вместо  $\pi$ , как следует из теории. Таким образом, вопрос относительно величины фазы Берри в ТИ остался открытым.

Следует подчеркнуть, что в реальных 3D-ТИ дисперсия не строго линейна, содержит параболическую компоненту и фаза Берри может не равняться точно  $\pi$ . Тем не менее теория утверждает, что из осцилляций ШдГ должно следовать  $\gamma = \pi$ , по крайней мере при больших номерах осцилляций  $N$ . Поэтому для получения однозначных данных о поверхностных 2D-состояниях и о величине фазы Берри в 3D-ТИ необходимы магнитотранспортные исследования при более высоких полях  $H$  и при более низких температурах  $T$ , чтобы была возможность извлекать информацию из большого числа осцилляций ШдГ и холловских осцилляций.

Настоящая работа является продолжением исследований транспортных и магнитотранспортных свойств 3D-ТИ, но уже в полях до 19.5 Тл и при температурах до 0.3 К. Как и ранее, эксперименты проводились с монокристаллами  $Bi_2Se_3$ , легированными медью. ARPES-эксперименты показали, что  $Bi_2Se_3$  имеет идеальный конус Дирака [1, 9] и, как отмечалось выше, при легировании медью он может оказаться сверхпроводником.

Квантование Ландау, связанное с квазиклассическим циклотронным движением электронов в магнитном поле, должно выявлять разницу между обычными и дираковскими электронами. В обоих случаях плотность состояний становится периодической функцией магнитного поля, что приводит к осцилляциям ШдГ и эффекта Холла [15]. Но поскольку осцилляции, связанные с уровнями Ландау 2D-поверхности Ферми, зависят только от перпендикулярной компоненты магнитного поля, то, вращая образец в магнитном поле, можно отделить их от 3D-осцилляций, обусловленных объем-



**Рис. 1.** Дифрактограмма одного из образцов, на которой видны только рефлексы  $00L$  базовых плоскостей кристалла. На вставке показана кривая качания рефлекса  $(0015)$  с полушириной  $0.1^\circ$  (предел разрешения нашего дифрактометра)

ными носителями. Кроме того, фазовый множитель 2D-осцилляций прямо отражает фазу Берри системы и тем самым позволяет выяснить, связаны ли наблюдаемые осцилляции с дираковскими фермионами. В ТИ в магнитном поле проводимость осциллирует как

$$\Delta\sigma_{xx} \propto \cos \left[ 2\pi \left( \frac{F}{H_N} - \frac{1}{2} + \beta \right) \right],$$

где  $F$  — частота осцилляций,  $H_N$  — значение магнитного поля в экстремумах  $\Delta\sigma_{xx}$ , а параметр  $\beta = \gamma/2\pi$ . Для дираковских фермионов  $\beta = 1/2$  и фаза Берри  $\gamma = \pi$  (см., например, работу [16]).

## 2. ДЕТАЛИ ЭКСПЕРИМЕНТА

В настоящей работе исследовались три монокристалла  $\text{Bi}_{2-x}\text{Cu}_x\text{Se}_3$  ( $\text{BiCuSe}$ ) с разной концентрацией носителей. Метод выращивания аналогичных монокристаллов и их характеристики описаны в предыдущей работе [13]. Образцы размерами до  $10 \times 5 \times 0.2 \text{ мм}^3$  с зеркальной поверхностью получались расслоением больших кристаллов (см. рис. 1 в [13]) по плоскости  $(001)$ . На высокое качество образцов указывает рис. 1, где в качестве примера приведена дифрактограмма одного из образцов, на которой видны только рефлексы  $00L$  базовых плоскостей кристалла. На вставке показана кривая качания рефлекса  $(0015)$  с полушириной  $0.1^\circ$  (предел раз-

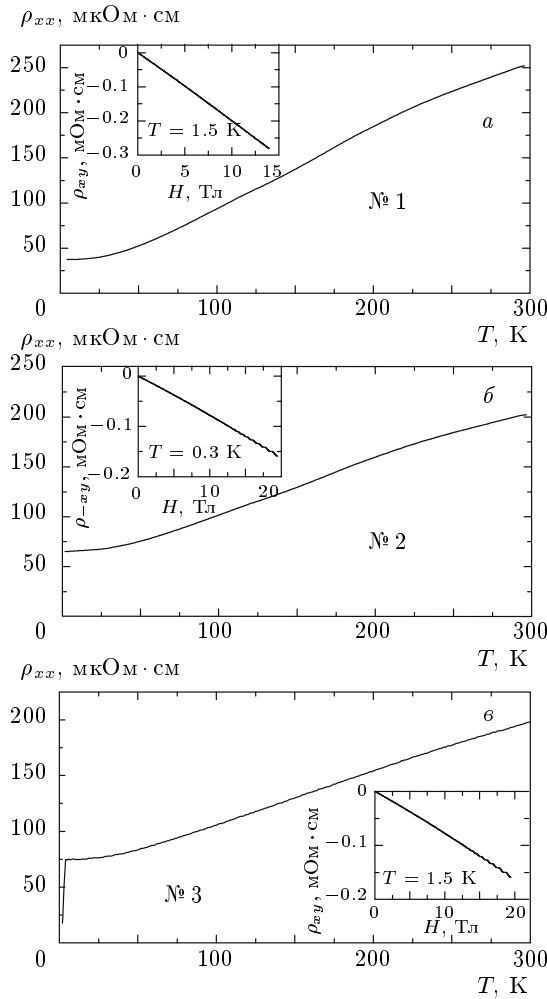
решения нашего дифрактометра). Измерения проводились в постоянных магнитных полях до 14 Тл при температурах до  $T = 1.5 \text{ К}$  в Международной лаборатории сильных магнитных полей и низких температур (Польша, Вроцлав), а в полях до 19.5 Тл и до  $T = 0.3 \text{ К}$  — в ЦКП ФИАН. Были изучены зависимости продольного  $R_{xx}$  и поперечного  $R_{xy}$  (холловского) сопротивлений от магнитного поля. В каждом измерении поле изменялось от «−» до «+», чтобы вычесть вклад от  $R_{xy}$  в сопротивление  $R_{xx}$  и наоборот. Методика измерений осцилляций ШдГ и холловских осцилляций описана в работе [13].

На рис. 2 показаны температурные зависимости продольных удельных сопротивлений  $\rho_{xx}$  для трех исследованных монокристаллов  $\text{BiCuSe}$  (образцы №№ 1–3) в области температур 2–300 К. На вставках показаны полевые зависимости удельного холловского сопротивления  $\rho_{xy}$  для тех же образцов, измеренные при указанных на вставках температурах. Образцы вели себя как металл,  $d\rho/dT > 0$ , до температуры около 30 К с насыщением при низких температурах. Как видно, образец № 3 является сверхпроводящим с температурой начала перехода 3.5 К. Как и нелегированные образцы  $\text{Bi}_2\text{Se}_3$  [17], выращенные при термодинамическом равновесии, наши монокристаллы были  $n$ -типа.

## 3. РЕЗУЛЬТАТЫ ИЗМЕРЕНИЙ

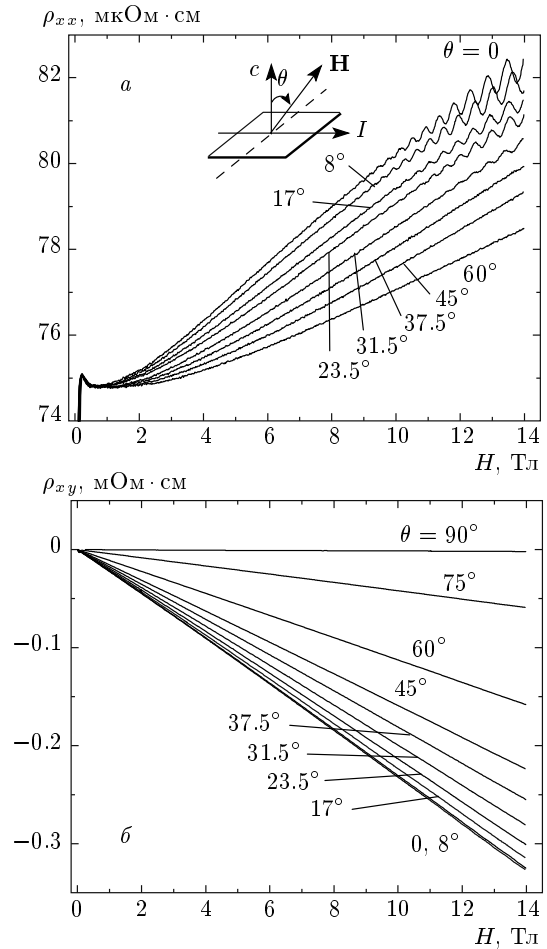
### 3.1. Квантовые осцилляции

На рис. 3–5 представлены зависимости от магнитного поля продольного  $\rho_{xx}$  и холловского  $\rho_{xy}$  сопротивлений монокристаллов  $\text{BiCuSe}$ , измеренные при различных углах наклона  $\theta$  между направлением магнитного поля и осью  $c$  образца (схематически показано на вставке к рис. 3) при температурах 1.5, 0.3 и 0.4 К. Видно, что с увеличением магнитного поля сопротивление  $\rho_{xx}$  осциллирует и расстояние между максимумами возрастает. При увеличении угла  $\theta$  перпендикулярная компонента магнитного поля уменьшается, начало ШдГ-осцилляций смещается в сторону больших полей и их амплитуда уменьшается. При  $\theta > 30^\circ$  осцилляции  $\rho_{xx}(H)$  не наблюдались даже в полях до 19.5 Тл. На вставке на рис. 4 показано холловское сопротивление  $R_{xy}$  в области полей 15–19.5 Тл в перпендикулярном магнитном поле. На зависимости  $R_{xy}(H)$  при высоких полях вместо осцилляций имеются плато, речь о которых пойдет ниже. На рис. 3а показаны верхние части кривых  $\rho_{xx}(H)$ , но тем не менее ясно, что образец № 1 также является сверхпроводящим.



**Рис. 2.** Температурные зависимости продольного удельного сопротивления  $\rho_{xx}$  для трех исследованных монокристаллов BiCuSe в области температур 4.2–300 К (а) и 2–300 К (б, в). На вставках показано удельное холловское сопротивление  $\rho_{xy}$  для тех же образцов как функция магнитного поля, измеренное при указанных на вставках температурах. Объемная концентрация носителей в образцах №№ 1, 2, 3 составляла соответственно  $n_{3D} = 2.8 \cdot 10^{19} \text{ см}^{-3}$  (а),  $1.1 \cdot 10^{20} \text{ см}^{-3}$  (б),  $1.2 \cdot 10^{20} \text{ см}^{-3}$  (в)

Известно, что в случае квантования Ландау плотность состояний является периодической функцией магнитного поля. Это приводит к осцилляциям ШдГ и холловского сопротивления, которые периодичны по обратному магнитному полю. Чтобы лучше выявить зависимость осцилляций от магнитного поля, мы использовали величины  $\Delta\rho_{xx}$  и  $\Delta\rho_{xy}$ , полученные в результате вычитания из сопротивлений  $\rho_{xx}$  и  $\rho_{xy}$  их гладких составляющих. На рис. 6а приведены осцилляции  $\Delta\rho_{xy}$  как функции обратной



**Рис. 3.** Продольное  $\rho_{xx}$  (а) и холловское  $\rho_{xy}$  (б) сопротивления монокристалла BiCuSe (образец № 1) как функция магнитного поля, измеренные при различных углах наклона  $\theta$  между направлением магнитного поля и осью  $c$  образца (схематически показано на вставке) при температуре 1.5 К

величины перпендикулярной составляющей магнитного поля  $1/H_{\perp} = 1/H \cos \theta$ , измеренные на образце № 1 при различных углах наклона  $\theta$  в полях до 14 Тл. На этом рисунке осцилляции разрешены лучше, но их амплитуда по-прежнему уменьшается с увеличением угла  $\theta$ , и при  $\theta > 31.5^\circ$  осцилляции исчезают. 2D-характер этих осцилляций очевиден, так как положение максимумов на кривых зависит только от перпендикулярной компоненты магнитного поля  $H_{\perp}$  и оно не меняется с изменением угла  $\theta$ .

На рис. 6б приведены те же осцилляции  $\Delta\rho_{xy}$ , что и на рис. 6а, но в более широкой области полей. На кривых хорошо видны осцилляции с большим периодом, на которые налагаются осцилляции с малым периодом при высоких полях (левая часть ри-

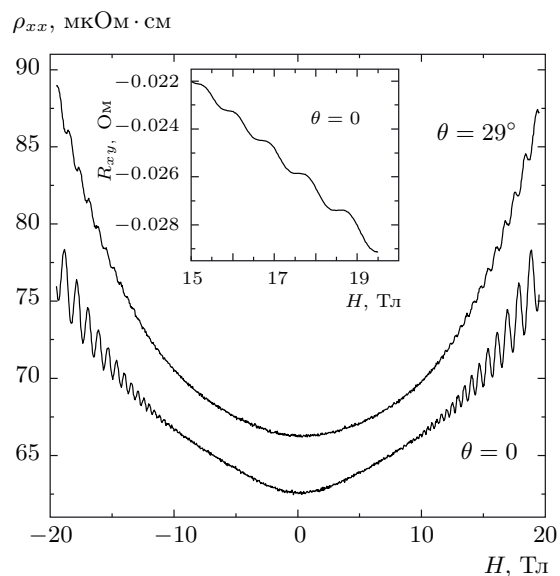


Рис. 4. Продольное  $\rho_{xx}$  и холловское  $R_{xy}$  сопротивления монокристалла BiCuSe (образец № 2) как функция магнитного поля, измеренные при различных углах наклона  $\theta$  при температуре 0.3 К

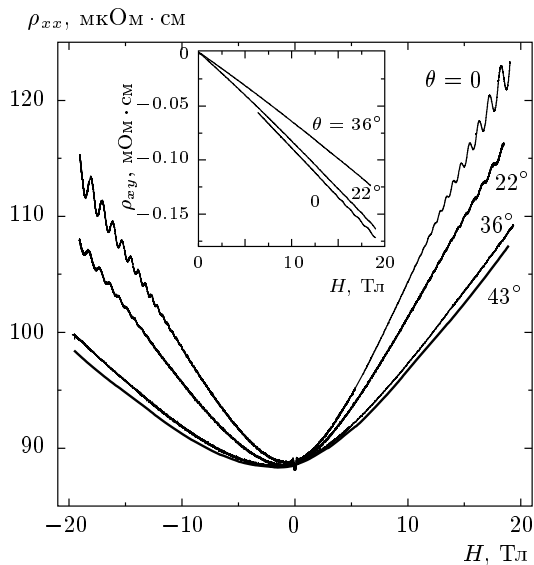


Рис. 5. Продольное  $\rho_{xx}$  и холловское  $\rho_{xy}$  сопротивления монокристалла BiCuSe (образец № 3) как функция магнитного поля, измеренные при различных углах наклона  $\theta$  при температуре 0.4 К

сунка). Амплитуда осцилляций с большим периодом практически не уменьшается с изменением угла наклона, но их период и положение максимумов (отмечены стрелками) уже зависят от угла наклона магнитного поля в отличие от осцилляций с малым пе-

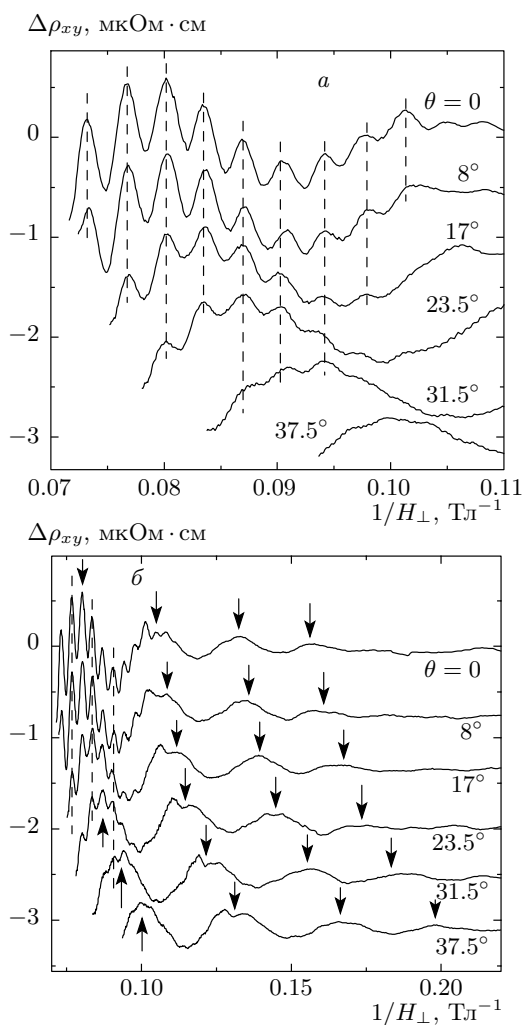
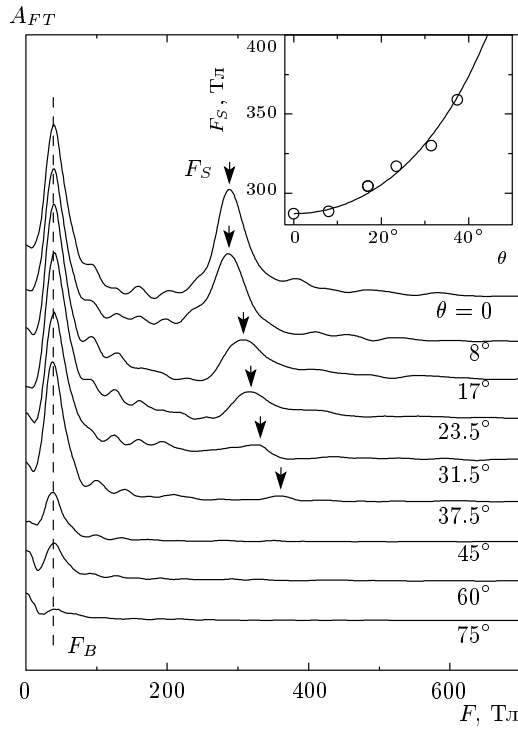


Рис. 6. а) Осцилляции  $\Delta\rho_{xy}$  как функции обратной величины перпендикулярной составляющей магнитного поля  $1/H_{\perp} = 1/H \cos \theta$ , измеренные на образце № 1 при различных углах наклона  $\theta$  в полях до 14 Тл и при температуре  $T = 1.5$  К. Штриховыми линиями отмечено положение максимумов. Для ясности кривые смещены вниз относительно кривых для  $\theta = 0$ . б) Те же осцилляции  $\Delta\rho_{xy}$ , что и на рис. 3а, но в более широкой области полей (от 14 до 4.5 Тл)

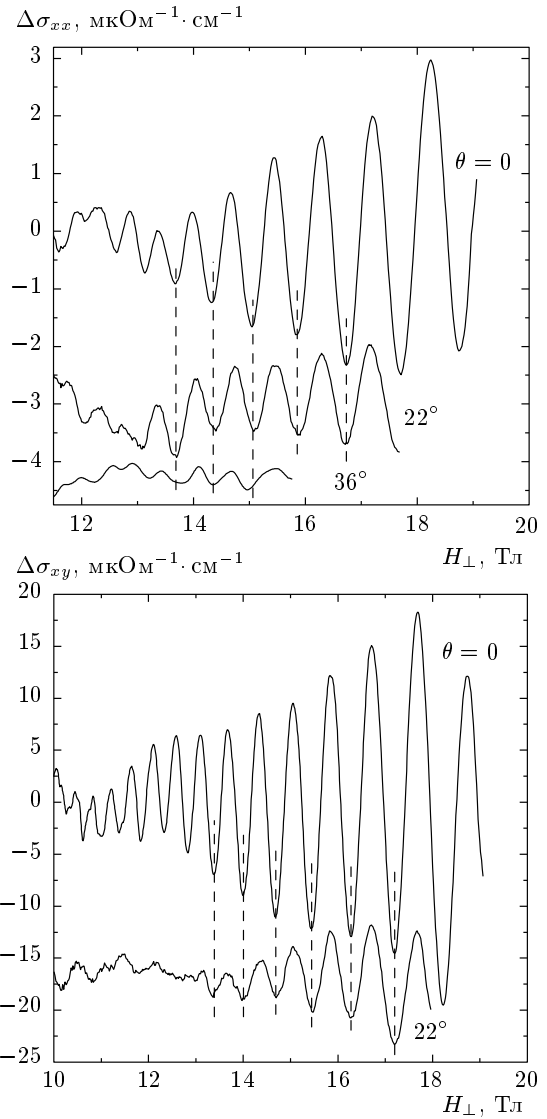
риодом. Это позволяет предположить, что осцилляции с большим периодом обусловлены квантованием Ландау 3D-поверхности Ферми. Фурье-анализ осцилляций показал наличие двух частот,  $F_B$  и  $F_S$ , соответствующих 3D- и 2D-вкладам в проводимость. Оказалось, что  $F_B = 39$  Тл и  $F_S = 287$  Тл при  $\theta = 0$ . На рис. 7 показаны результаты фурье-анализа осцилляций ШдГ  $\Delta\rho_{xy}$ , которые отражают зависимость частот осцилляций от угла  $\theta$ . Видно, что час-



**Рис. 7.** Результаты фурье-анализа осцилляций ШДГ  $\Delta\rho_{xy}$ , которые отражают зависимость частот осцилляций от угла  $\theta$  (образец № 1,  $T = 1.5$  К). На вставке: точки — зависимость  $F_S(\theta)$ ; сплошная линия —  $F_S/\cos\theta$

тота  $F_B$  объемных осцилляций не меняется с углом  $\theta$ , что соответствует малой анизотропии поверхности Ферми в плоскости изменения угла  $\theta$ . Частота  $F_S$  поверхностных осцилляций изменяется с  $\theta$  и, как показано на вставке, данные для частоты  $F_S$  при разных углах хорошо ложатся на зависимость  $F_S(\theta)/\cos\theta$  (сплошная линия). Это еще раз подтверждает, что эти осцилляции зависят только от перпендикулярной компоненты магнитного поля  $H_{\perp}$  и связаны с уровнями Ландау 2D-поверхности Ферми.

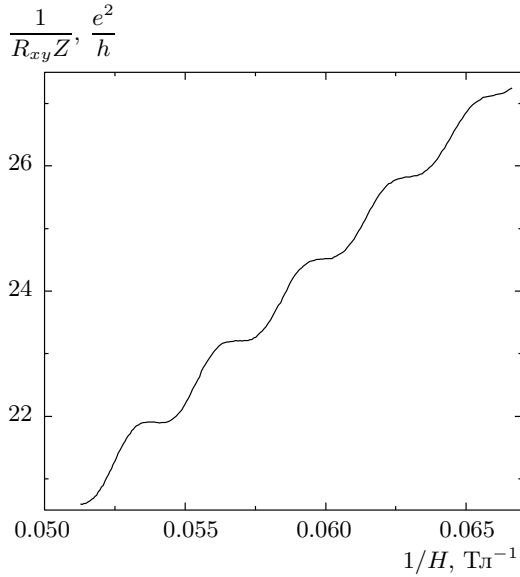
На рис. 8 показаны продольная  $\sigma_{xx}$  и холловская  $\sigma_{xy}$  проводимости монокристалла (образец № 3) как функции перпендикулярной составляющей магнитного поля  $H_{\perp} = H \cos\theta$  при различных углах наклона  $\theta$  в полях до 19.5 Тл. Проводимости были рассчитаны по данным на рис. 5. Эти величины и проводимости для образцов № 1 и № 2 использовались в дальнейшем для определения фазы Берри. Штриховыми линиями отмечено положение минимумов. Для ясности кривые смещены вниз относительно кривых для  $\theta = 0$ . Как и на рис. 6, положение минимумов на кривых зависит только от перпендикулярной ком-



**Рис. 8.** Осцилляции  $\Delta\sigma_{xx}$  и  $\Delta\sigma_{xy}$ , где  $\sigma_{xx} = \rho_{xx}/(\rho_{xx}^2 + \rho_{xy}^2)$  и  $\sigma_{xy} = -\rho_{xy}/(\rho_{xx}^2 + \rho_{xy}^2)$  — продольная и холловская проводимости образца № 3, как функции перпендикулярной составляющей магнитного поля  $H_{\perp} = H \cos\theta$  при различных углах наклона  $\theta$  в полях до 19.5 Тл ( $T = 0.4$  К). Проводимости рассчитаны по данным на рис. 5

поненты магнитного поля  $H_{\perp}$  и оно не меняется с изменением угла  $\theta$ , что указывает на 2D-характер осцилляций.

Из периода осцилляций ШДГ можно найти концентрацию  $n_{2D}$  носителей в 2D-слое через соотношение Лифшица–Онзагера [15], в котором частота  $F$  осцилляций прямо связана с поперечным сечением поверхности Ферми. Тогда для спин-отфильтрованных 2D-состояний концентрация выражается как  $n_{2D} = 2eF/h$ , где  $e$  — заряд электрона и  $h$  — постоян-



**Рис. 9.** Обратное холловское сопротивление  $1/R_{xy}$  в области полей 15–19.5 Тл в перпендикулярном магнитном поле, деленное на число  $Z$ , как функция обратного магнитного поля  $1/H$  (экспериментальные данные показаны на вставке на рис. 4). Число  $Z = 43 \cdot 10^3$  равно количеству пятикратных слоев толщиной 1 нм [18] в образце № 2, толщина которого составляла 43 мкм ( $T = 0.3$  К)

ная Планка. Для образца № 1 величина  $F_1 = 287$  Тл, и мы получили  $n_{2D} = 13.8 \cdot 10^{12}$  см $^{-2}$ . Из фурье-анализа осцилляций, приведенных на рис. 8, была получена частота  $F_3 = 300$  Тл, из которой следовало, что  $n_{2D} = 14.4 \cdot 10^{12}$  см $^{-2}$  для образца № 3. Для образца № 2 мы нашли  $F_2 = 330$  Тл и  $n_{2D} = 15.9 \cdot 10^{12}$  см $^{-2}$ . Сравнивая эти величины с концентрациями  $n_{3D}$  носителей в объеме, найденными из холловских измерений, можно определить эффективную толщину 2D-слоев,  $d_{2D} = n_{2D}/n_{3D}$ . Из указанных выше концентраций была найдена толщина 2D-слоя в образце № 1, равная 4.9 нм, что приблизительно составляет 5 «пятикратных слоев» в структуре кристалла, каждый из которых имеет толщину 1 нм [18]. В случае образцов № 2 и № 3, у которых концентрация носителей в объеме выше, соответственно  $d_{2D} = 1.4$  нм и  $d_{2D} = 1.2$  нм, что приблизительно соответствует уже одному пятикратному слою.

На рис. 9 показано обратное холловское сопротивление  $1/R_{xy}$  в области полей 15–19.5 Тл в перпендикулярном магнитном поле, деленное на число  $Z$ , как функция обратного магнитного поля  $1/H$ . Нетрудно видеть, что на зависимости  $1/R_{xy}$

от  $1/H$  при высоких полях вместо осцилляций имеются плато. Расстояние  $\Delta(1/R_{xy})$  между плато оказалось постоянным для различных уровней Ландау и равным  $1.3e^2/h$  на каждый пятикратный слой. По-видимому, как и в случае нелегированного  $\text{Bi}_2\text{Se}_3$  [14], мы наблюдаем «объемный квантовый эффект Холла», обусловленный транспортом через множество параллельных проводящих 2D-каналов в 3D-монокристалле  $\text{BiCuSe}$ . Объемный квантовый эффект Холла, в котором квантованные величины сопротивления  $R_{xy}$  определяются обратной толщиной образца, ранее наблюдался в слоистых 3D-материалах, например, в мультиквантовых ямах  $\text{GaAs}/\text{AlGaAs}$  [19]. Действительно, как и в цитируемых работах, в нашем случае  $R_{xy} = (h/e^2)/NZ$ , где  $N$  — соответствующий номер уровня Ландау. Например, для  $N = 22$  (см. рис. 9) соответствующее последнее плато на сопротивлении  $R_{xy}$  при  $H = 18.5$  Тл должно наблюдаться при 0.027 Ом, как это и следует из вставки на рис. 4. Это означает, что в наших монокристаллах № 2 и № 3 2D-осцилляции ШдГ и квантовый эффект Холла связаны с каждым пятикратным слоем, который представляет собой проводящий 2D-канал. В некотором приближении эти образцы можно представить как слоистые высокотемпературные купраты на основе  $\text{Bi}$ . В образце № 1 параллельные проводящие каналы по какой-то причине (возможно, из-за дефектов) состоят из 5 пятикратных слоев. По всей вероятности, из-за этого в образце № 1 сказывается сильное влияние квантования Ландау 3D-поверхности Ферми, видное на рис. 6, и квантовый эффект Холла не наблюдается.

Известно, что измерение температурной зависимости осцилляций ШдГ позволяет найти с помощью формулы Лифшица–Косевича [15] основные кинетические параметры, связанные с проводимостью системы. На рис. 10 показаны сопротивления  $\rho_{xx}$  и  $\Delta\rho_{xx}$  для образца № 2 в магнитном поле, перпендикулярном поверхности образца, при разных температурах. Хорошо видно, что с увеличением температуры амплитуда осцилляций значительно уменьшается. На вставке к рис. 10б показаны относительные амплитуды  $\Delta\rho_{xx}$  18-го максимума как функции температуры (образец № 2). Сплошная линия отвечает формуле Лифшица–Косевича [15] при  $\Delta E = 12$  мэВ. Для образца № 1 была получена величина  $\Delta E = 8.4$  мэВ. Найдя значения  $\Delta E$  для разных максимумов  $\Delta\rho_{xx}$ , мы определили эффективную массу  $m_{eff}^{2D}$  носителей, исходя из выражения  $\Delta E(H) = \hbar e H / 2\pi m_{eff}^{2D}$  [15].

Затем, следуя общепринятой процедуре анали-

Таблица. Параметры 2D- и 3D-систем для образцов  $\text{Bi}_{2-x}\text{Cu}_x\text{Se}_3$  и  $\text{Bi}_2\text{Se}_3$ 

Параметр	Образец				
	№ 1	№ 2	№ 3	$\text{Cu}_{0.25}\text{Bi}_2\text{Se}_3$ [20]	$\text{Bi}_2\text{Se}_3$ [14]
$n_{3D}^{Hall}$ , $\text{см}^{-3}$	$-2.8 \cdot 10^{19}$	$-1.1 \cdot 10^{20}$	$-1.2 \cdot 10^{20}$	$-4.3 \cdot 10^{19}$	$-4.7 \cdot 10^{19}$
$F_S$ , Тл	287	330	300	325	162
$n_{2D}^{sdH}$ , $\text{см}^{-2}$	$1.4 \cdot 10^{13}$	$1.6 \cdot 10^{13}$	$1.5 \cdot 10^{13}$	—	$7.8 \cdot 10^{12}$
$k_F$ , $\text{нм}^{-1}$	0.94	1.01	0.97	0.44	—
$m_{eff}$	$0.16m_0$	$0.18m_0$	—	$0.194m_0$	$0.14m_0$
$T_D$ , К	21.8	23.6	—	23.5	25
$\tau_D$ , с	$5.6 \cdot 10^{-14}$	$5.2 \cdot 10^{-14}$	—	$5.2 \cdot 10^{-14}$	$5 \cdot 10^{-14}$
$\mu_{2D}^{sdH}$ , $\text{см}^2/\text{В}\cdot\text{с}$	614	513	—	—	620
$v_F$ , м/с	$6.8 \cdot 10^5$	$6.4 \cdot 10^5$	—	$5.8 \cdot 10^6$	—
$l_F$ , нм	38	34	—	30	—

Примечание:  $m_0$  — масса свободного электрона

за осцилляций ШдГ, мы определили температуру Дингла  $T_D$  из полулогарифмического графика зависимости  $D = \Delta R H \text{sh}(\alpha T/\Delta E)$  от  $1/H$ . Из величины  $T_D$  были найдены время релаксации  $\tau_D = \hbar/4\pi^2 T_D k_B$  ( $k_B$  — постоянная Больцмана), эффективная 2D-подвижность  $\mu_{2D} = e\tau/m_{eff}^2$ , длина свободного пробега  $l_F$ , фермиевский волновой вектор  $k_F$  и фермиевская скорость  $v_F$  для образцов № 1 и № 2 при температурах соответственно 1.5 К и 0.3 К. Указанные параметры 2D-системы в наших образцах приведены в таблице. Величины этих параметров очень близки к полученным ранее для 2D-проводимости в нелегированном и легированном медью образцах  $\text{Bi}_2\text{Se}_3$  [14, 20]. Из таблицы видно, что при увеличении на порядок 3D-концентрации носителей в образцах вследствие легирования медью значения  $v_F$ ,  $\tau_D$  и  $l_F$  остаются практически неизменными. Подобные зависимости наблюдались в работах [14, 21] для  $\text{Bi}_2\text{Se}_3$  и  $\text{Bi}_2\text{Te}_2\text{Se}$ .

### 3.2. Фаза Берри

Когда в образце сосуществуют 2D- и 3D-носители, значение магнитного поля  $H_N$  в осцилляциях ШдГ играет ключевую роль при определении фазы Берри [1, 7]. Однако до сих пор в литературе нет однозначного ответа на два вопроса: 1)  $H_N$  следует выбирать по минимумам или максимумам в осцилляциях ШдГ? 2) что следует использовать при определении фазы Берри, магнитосопротивление или магнитопроводимость? Ниже будем придерживаться подхода, развитого в работах [10, 21]. Очевидно,

но, что совпадение уровня Ферми с уровнем Ландау приводит к максимуму в плотности состояний электронов и, соответственно, к максимуму в проводимости. Если уровень Ферми лежит между уровнями Ландау, где нет электронов, имеет место минимум в плотности состояний и минимум в проводимости. В последнем случае некое число уровней Ландау ниже уровня Ферми заполнено и следующий уровень пустой. Тогда этому минимуму в  $\sigma_{xx}$  или  $\sigma_{xy}$  можно поставить в соответствие определенный индекс  $N$ , а максимуму —  $N + 1/2$ . Кроме того, экстремумы  $\sigma_{xy}$  сдвинуты по фазе на  $90^\circ$  относительно  $\sigma_{xx}$ .

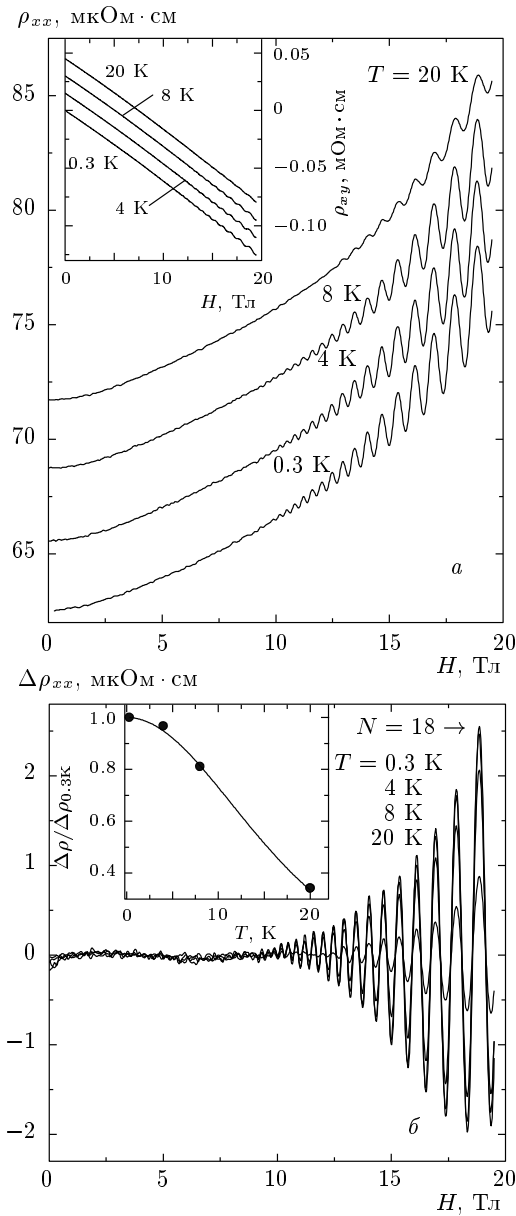
Поскольку в 3D-ТИ 2D- и 3D-проводимости аддитивны, можно измеренные сопротивления преобразовать в проводимости:

$$\sigma_{xx} = \rho_{xx}/(\rho_{xx}^2 + \rho_{xy}^2), \quad \sigma_{xy} = -\rho_{xy}/(\rho_{xx}^2 + \rho_{xy}^2).$$

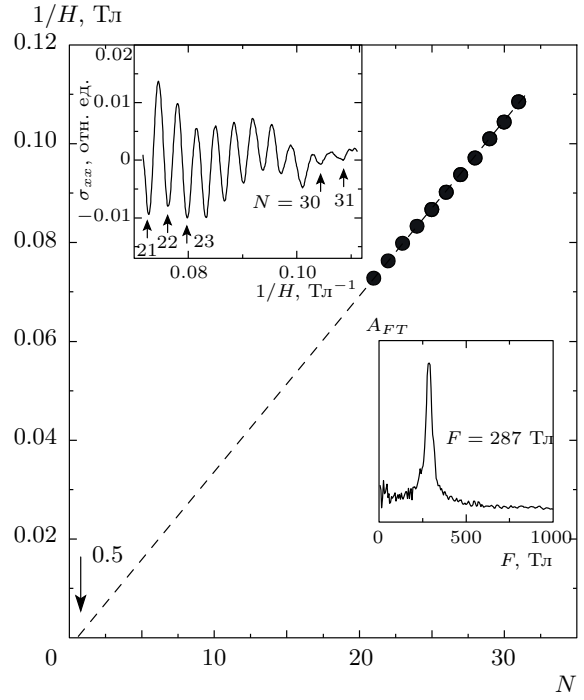
На рис. 11 приведено положение минимумов  $\sigma_{xx}$  в обратном магнитном поле  $1/H$  в зависимости от  $N$  (веерная диаграмма уровней Ландау) для образца № 1. Величина  $\sigma_{xx}$ , показанная на верхней вставке, была рассчитана по данным на рис. 3 при  $\theta = 0$ . Видно, что данные хорошо ложатся на прямую линию с фиксированным наклоном, который следует также и из зависимости  $F/H_N$  от  $N$ , где  $F = 287$  Тл — результат фурье-анализа осцилляций (нижняя вставка). На рис. 11 прямая линия пересекает горизонтальную ось  $N$  в точке 0.5. Как отмечалось выше, в магнитном поле проводимость ТИ осциллирует как

$$\Delta\sigma_{xx} \propto \cos \left[ 2\pi \left( \frac{F}{H_N} - \frac{1}{2} + \beta \right) \right].$$





**Рис. 10.** Сопротивления  $\rho_{xx}$  (а) и  $\Delta\rho_{xx}$  (б) для образца № 2 в магнитном поле, перпендикулярном поверхности образца, при разных температурах. Для ясности на рис. 10а кривые смещены вверх относительно нижней кривой. На вставках: а — сопротивление  $\rho_{xy}$  для образца при тех же условиях (кривые смещены вверх относительно нижней); б — относительные амплитуды  $\Delta\rho_{xx}$  18-го максимума в зависимости от температуры (сплошная линия отвечает формуле Лифшица – Косевича [15] при значении  $\Delta E = 12$  мэВ)

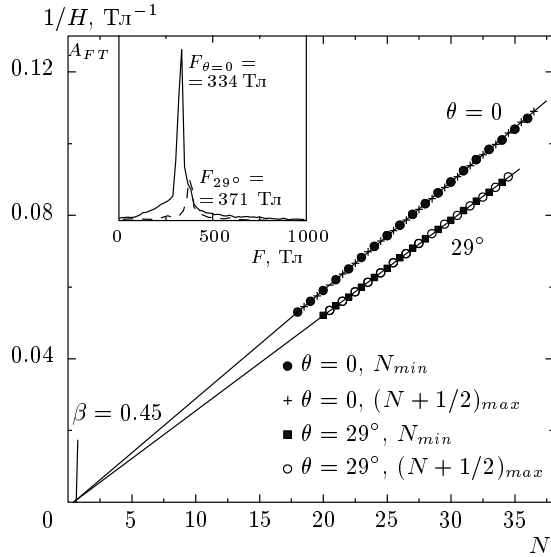


**Рис. 11.** Положение минимумов  $\sigma_{xx}$  в обратном магнитном поле  $1/H$  от  $N$  (верная диаграмма уровней Ландау) для образца № 1 ( $\theta = 0$ ,  $T = 1.5$  К). Величина  $\sigma_{xx}$ , показанная на верхней вставке, была рассчитана по данным на рис. 3 при  $\theta = 0$ . Стрелками отмечены индексы  $N$  уровней Ландау. Нижняя вставка — результаты фурье-анализа осцилляций

Тогда при  $1/H_N \rightarrow 0$  пересечение прямой линии оси  $N$  дает фазовый параметр  $\beta = \gamma/2\pi$  и фазы Берри  $\gamma = \pi$ .

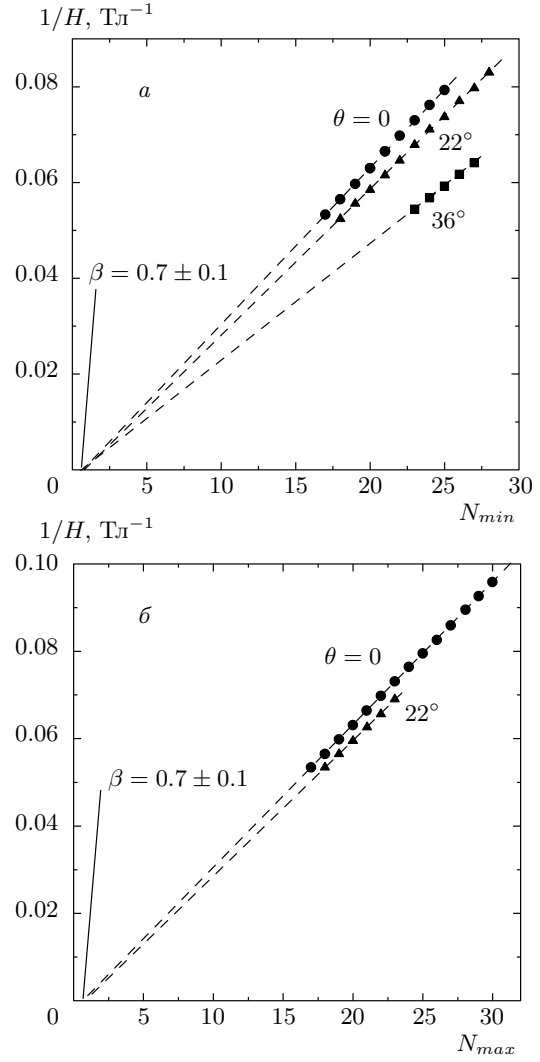
На рис. 12 и 13 приведены верные диаграммы уровней Ландау для различных углов наклона  $\theta$  образцов № 2 и № 3 относительно направления магнитного поля. Данные соответствуют минимумам  $\sigma_{xx} = \rho_{xx}/(\rho_{xx}^2 + \rho_{xy}^2)$  и  $\sigma_{xy} = -\rho_{xy}/(\rho_{xx}^2 + \rho_{xy}^2)$ , полученным из измеренных  $\rho_{xx}$  и  $\rho_{xy}$ . Чтобы убедиться в справедливости выбора  $H_N$  согласно работам [10, 21], мы на рис. 12 приводим также данные, соответствующие максимумам  $N + 1/2$  проводимости  $\sigma_{xx}$ . Все прямые линии (экстраполяция данных  $1/H \rightarrow 0$ ) пересекают горизонтальные оси в точках  $\beta = 0.45$  (рис. 12) и  $0.7 \pm 0.1$  (рис. 13). Исходя из рис. 11–13, можно заключить, что в трех исследованных образцах фаза Берри  $\gamma \approx \pi$  и не зависит от направления магнитного поля.

Наконец, мы попытались извлечь фазу Берри из угловой зависимости сопротивления  $\rho_{xx}$  при постоянной величине магнитного поля. В ТИ сопротив-



**Рис. 12.** Верные диаграммы уровней Ландау для двух углов наклона  $\theta$  образца № 2 относительно направления магнитного поля ( $T = 0.3$  К). Данные соответствуют минимумам  $\sigma_{xx} = \rho_{xx}/(\rho_{xx}^2 + \rho_{xy}^2)$ , полученным из экспериментальных кривых на рис. 5. Приведены также данные, соответствующие максимумам  $N + 1/2$  проводимости  $\sigma_{xx}$ . На вставке показаны результаты фурье-анализа

ление в магнитном поле осциллирует как  $\Delta\rho_{xx} \propto \cos[2\pi(F/H_{eff} + \gamma)]$ , где  $H_{eff} = H \cos\theta$ ,  $F$  и  $\gamma$  — частота и фаза осцилляций. Максимумы в сопротивлении имеют место при  $F/H_{eff} + \gamma = N$  ( $N$  — индекс поля или номер уровня Ландау). Следовательно, уровень Ферми пересекает  $N$ -й уровень Ландау при углах  $\theta = \arccos[F/H_N(N - \gamma)]$  [22]. На рис. 14 показана угловая зависимость сопротивления  $\Delta\rho_{xx}$  образца № 3 в магнитном поле 18.5 Тл при температуре 0.6 К. Хорошо видны три максимума в сопротивлении при  $\theta = 17^\circ, 27^\circ, 34^\circ$ . Значения эффективных магнитных полей при этих углах равнялись  $H_{eff} = 17.7, 16.5, 15.3$  Тл. Фурье-анализ осцилляций  $\Delta\rho_{xx}$  при этих углах показал величины частот  $F = 313.7, 336.7, 361.9$  Тл, которые хорошо ложатся на зависимость  $1/\cos\theta$  (точки и сплошная линия на вставке), как и должно быть в случае 2D-эффекта ШдГ. Частота  $F_3 = 300$  Тл при  $\theta = 0$  была получена из фурье-анализа осцилляций, приведенных на рис. 8. Исходя из выражения  $F/H_{eff} + \gamma = N$ , мы нашли, что первый максимум соответствует индексу  $N = 18$  при  $\gamma = 0.27$ , второй —  $N = 21$  при  $\gamma = 0.57$ , а третий —  $N = 24$  при  $\gamma = 0.41$ ; тогда среднее значение фазы  $\gamma \approx 0.42$ , и это близко к  $\pi$ . Таким образом, эти данные еще раз доказывают, что квантовые осцилляции ШдГ в нашем случае связаны с

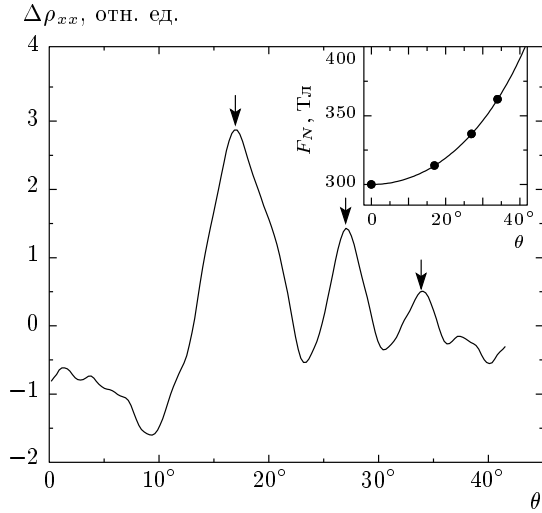


**Рис. 13.** Верные диаграммы уровней Ландау для различных углов наклона  $\theta$  образца № 3 относительно направления магнитного поля ( $T = 0.4$  К). Данные соответствуют минимумам  $\sigma_{xx} = \rho_{xx}/(\rho_{xx}^2 + \rho_{xy}^2)$  (а) и  $\sigma_{xy} = -\rho_{xy}/(\rho_{xx}^2 + \rho_{xy}^2)$  (б), полученным из экспериментальных кривых

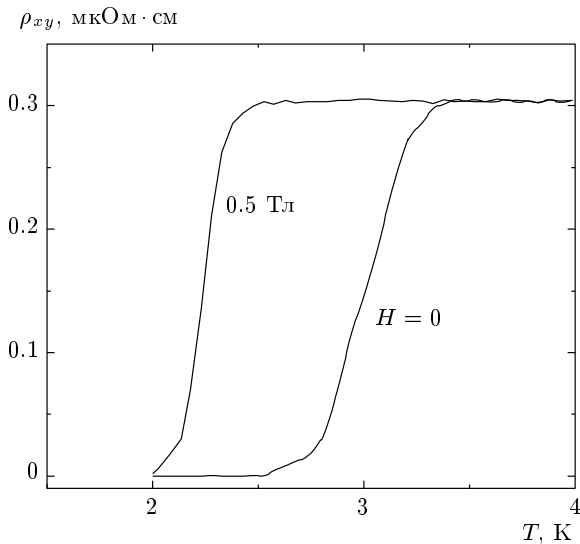
дираковскими фермионами в параллельных проводящих 2D-каналах в 3D-монокристалле BiCuSe.

### 3.3. Сверхпроводимость

Из приведенных выше рис. 3а и 2в видно, что образцы № 1 и № 3 оказались сверхпроводящими. Выше отмечалось, что сверхпроводимость в ТИ может оказаться необычной, поскольку она, возможно, обусловлена майорановскими фермионами. Представляло интерес измерить в этих образцах одну из основных характеристик сверхпроводника — верх-



**Рис. 14.** Угловая зависимость сопротивления  $\Delta\rho_{xx}$  образца № 3 в магнитном поле 18.5 Тл при температуре 0.6 К. Стрелками отмечены максимумы в сопротивлении при  $\theta = 17^\circ, 27^\circ, 34^\circ$ . Фурье-анализ осцилляций  $\Delta\rho_{xx}$  при этих углах показал величины частот  $F = 313.7, 336.7, 361.9$  Тл, которые хорошо ложатся на зависимость  $1/\cos\theta$  (точки и сплошная линия на вставке). Частота  $F_3 = 300$  Тл при  $\theta = 0$  была получена из фурье-анализа осцилляций, приведенных на рис. 8



**Рис. 15.** Сопротивление  $\rho_{xy}$  образца № 3 в магнитных полях  $H = 0, 0.5$  Тл в области температур 2–4 К

нее критическое магнитное поле  $H_{c2}$  и его анизотропию. На рис. 15 показано сопротивление  $\rho_{xy}$  образца № 3 в магнитных полях  $H = 0, 0.5$  Тл в области температур 2–4 К. В этом образце сверхпроводящий переход в нулевом поле начинается при 3.4 К и заканчивается при 2.6 К. В магнитном поле 0.5 Тл кривая перехода смещается в сторону низких температур на 1 К, как и в обычных сверхпроводниках.

Далее мы изучили угловую зависимость  $H_{c2}$  в образце № 1. С этой целью были измерены кривые сверхпроводящего перехода при различных углах наклона  $\theta$  между направлением магнитного поля и осью  $c$  образца. Результаты этих измерений представлены на рис. 16а (геометрия эксперимента показана на вставке к рис. 3а). Исходя из того, что транспорт в магнитном поле в наших образцах определяется проводящими 2D-слоями, мы обработали данные рис. 16а с помощью модели, которая была успешно использована для описания угловой зависимости  $H_{c2}$  в слоистых высокотемпературных сверхпроводящих купратах на основе Bi [23]. Согласно этой модели, соотношение между угловой зависимостью критического поля  $H(\theta)$  и верхним критическим полем  $H_{c2\perp}$  имеет вид

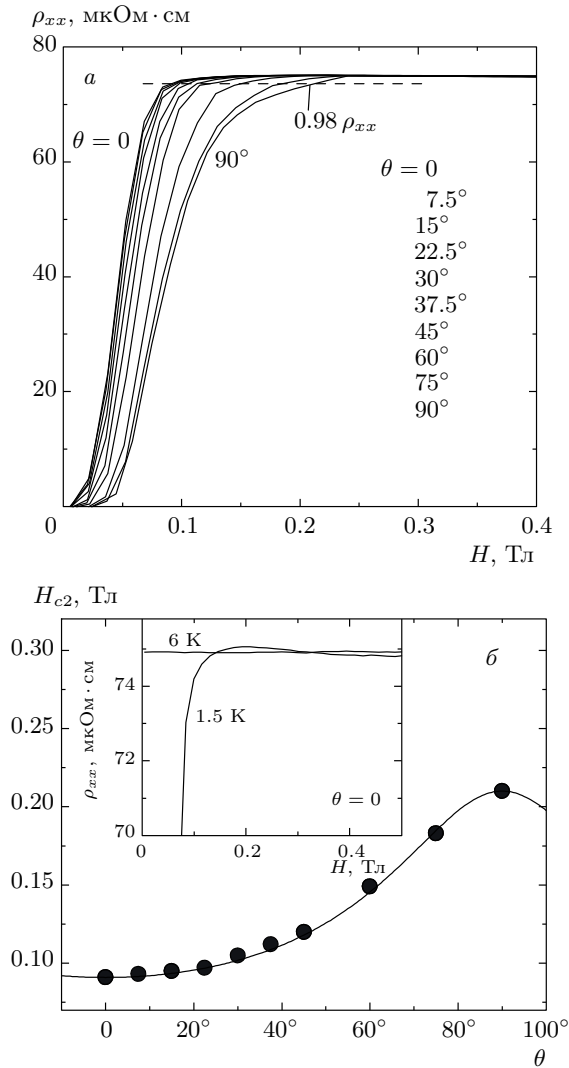
$$H(\theta) \sin\theta + \gamma' H^2(\theta) \cos^2\theta = H_{c2\perp},$$

где  $\gamma' = H_{c2\perp}/H_{c2\parallel}^2 \approx ed^2/6\hbar c$ . На рис. 16б мы показываем угловую зависимость резистивного верхнего критического магнитного поля  $H_{c2}(\theta)$  (точки), полученного из рис. 16а для  $\rho = 0.98\rho_{xx}$ . Сплошная линия отвечает приведенному выше выражению с экспериментальным параметром  $\gamma' \approx 2.1 \text{ Тл}^{-1}$ .

Видно, что экспериментальные данные хорошо описываются этим уравнением для обычного тонкопленочного сверхпроводника. Оценка эффективной толщины сверхпроводящих слоев в образце дала величину  $d \approx \sqrt{6\hbar c\gamma'/e} = 50 \text{ нм}$ , хотя толщина 2D-слоя в образце № 1 равна 4.9 нм. Таким образом, сверхпроводящий ТИ можно рассматривать как массивный сверхпроводник, состоящий из сверхпроводящих слоев с эффективной толщиной около 50 нм.

#### 4. ЗАКЛЮЧЕНИЕ

Наши результаты показали, что 3D-монокристаллы  $\text{Bi}_2\text{Se}_3$ , легированные медью, с высокой объемной концентрацией носителей  $n \approx 10^{19}\text{--}10^{20} \text{ см}^{-3}$  являются топологическими изоляторами с множеством параллельных проводящих 2D-каналов тол-



**Рис. 16.** а) Кривые сверхпроводящего перехода при различных углах наклона  $\theta$  между направлением магнитного поля и осью  $c$  образца (образец №1,  $T = 1.5$  К, геометрия эксперимента показана в вставке к рис. 3а). б) Угловая зависимость резистивного верхнего критического магнитного поля  $H_{c2}(\theta)$  (точки), полученного из рис. 16а для  $\rho = 0.98\rho_{xx}$  (отмечено стрелкой). Сплошная линия отвечает модели работы [23] с экспериментальным параметром  $\gamma' \approx 2.1 \text{ Тл}^{-1}$

щиной 1–5 нм, как это имеет место в нелегированном  $\text{Bi}_2\text{Se}_3$  [14]. В проводящих 2D-каналах толщиной около 1 нм при высоких полях наблюдался объемный квантовый эффект Холла. Расстояние  $\Delta(1/R_{xy})$  между ступеньками на полевой зависимости обратного холловского сопротивления оказалось

постоянным для различных уровней Ландау и равным  $1.3e^2/h$  на каждый слой толщиной около 1 нм. Верные диаграммы 2D-уровней Ландау для различных углов наклона образцов относительно направления магнитного поля позволили заключить, что в проводящих 2D-каналах фаза Берри  $\gamma$  примерно равна  $\pi$  и не зависит от направления магнитного поля. Изучением угловой зависимости резистивного верхнего критического магнитного поля  $H_{c2}$  в одном из сверхпроводящих образцов показано, что его можно рассматривать как массивный сверхпроводник, состоящий из сверхпроводящих слоев с эффективной толщиной около 50 нм.

### ЛИТЕРАТУРА

1. X.-L. Qi and Sh.-Ch. Zhang, Rev. Mod. Phys. **83**, 1057 (2011).
2. Y. Ando, J. Phys. Soc. Jpn. **82**, 102001 (2013).
3. L. Fu, C. L. Kane, and E. J. Mele, Phys. Rev. Lett. **98**, 106803 (2007).
4. D. Hsieh, D. Qian, L. Wray et al., Nature (London) **452**, 970 (2008).
5. J. C. Y. Teo, L. Fu, and C. L. Kane, Phys. Rev. B **78**, 045426 (2008).
6. M. V. Berry, Proc. Roy. Soc. London A **392**, 45 (1984).
7. D. Hsieh, Y. Xia, L. Wray et al., Science **323**, 919 (2009).
8. H. Zhang, C.-X. Liu, X.-L. Qi et al., Nature Phys. **5**, 438 (2009).
9. M. Z. Hasan and C. L. Kane, Rev. Mod. Phys. **82**, 3045 (2010).
10. D.-X. Qu, Y. S. Hor, J. Xiong et al., Science **329**, 821 (2010).
11. Y. S. Hor, A. J. Williams, J. G. Checkelsky et al., Phys. Rev. Lett. **104**, 057001 (2010); M. Kriener, K. Segawa, Z. Ren et al., Phys. Rev. Lett. **106**, 127004 (2011).
12. H. C. Manoharan, Nature Nanotech. **5**, 477 (2010).

13. М. В. Голубков, Ю. И. Горина, Г. А. Калужная и др., Письма в ЖЭТФ **98**, 533 (2013).
14. H. Cao, J. Tian, I. Miotkowski et al., Phys. Rev. Lett. **108**, 216803 (2012).
15. D. Shoenberg, *Magnetic Oscillations in Metals*, Cambridge Univ. Press, Cambridge (1984).
16. Y. Zhang, Y.-W. Tan, L. Stormer et al., Nature (London) **438**, 201 (2005).
17. H. Kohler, Sol. St. Comm. **13**, 1585 (1973).
18. S. S. Hong, W. Kundhikanjana, J. J. Cha et al., Nano Lett. **10**, 3118 (2010).
19. H. Stormer, J. P. Eisenstein, A. C. Gossard et al., Phys. Rev. Lett. **56**, 85 (1986).
20. B. J. Lawson, Y. S. Hor, and L. Li, Phys. Rev. Lett. **109**, 226406 (2012).
21. J. Xiong, Y. Luo, Y. Khoo et al., Phys. Rev. B **86**, 045314 (2012).
22. A. A. Taskin, K. Segawa, and Y. Ando, Phys. Rev. B **82**, 121302 (2010).
23. S. I. Vedenev and Yu. N. Ovchinnikov, Письма в ЖЭТФ **75**, 228 (2002).